

猪链球菌9型荧光定量PCR检测方法的建立及应用

拜廷阳^{1,2}, 杨增岐¹, 吴志明³, 普志平², 赵明军³, 闫若潜³

(1 西北农林科技大学 动物医学院, 陕西 杨凌 712100; 2 周口市动物疫病预防控制中心, 河南 周口 466000;

3 河南省动物疫病预防控制中心, 河南 郑州 450008)

[摘要] 【目的】建立猪链球菌9型(SS9)的快速诊断和定量分析方法。【方法】根据GenBank已登录的SS9 *cps9H*基因保守部分序列设计合成引物和TaqMan荧光探针,建立了SS9的TaqMan荧光定量PCR检测方法(Taq-Man FQ-PCR),并进行了敏感性、特异性和重复性试验;利用所建立的检测方法对河南省11例疑似猪链球菌临床样品进行了应用检测,并与常规PCR方法进行了对比。【结果】成功建立了SS9的FQ-PCR检测方法和定量标准曲线, FQ-PCR方法的检测灵敏度可达1.0拷贝/ μ L,特异性高且重复性良好;利用该方法对11份临床疑似猪链球菌感染组织病料进行的应用检测表明,其中有3份样品为阳性,与常规PCR方法检测的阳性符合率为100%。【结论】成功建立的SS9 FQ-PCR诊断方法,可用于临床SS9型病菌感染的快速诊断及样品中细菌含量的定量分析。

[关键词] 猪链球菌9型; 荧光定量PCR; TaqMan荧光探针; 检测方法

[中图分类号] S858.285.1⁺¹

[文献标识码] A

[文章编号] 1671-9387(2008)01-0007-06

Establishment and application of Real-time TaqMan-quantitative PCR assay for detection of *Streptococcus suis* serotype 9

BAI Ting-yang^{1,2}, YANG Zeng-qi¹, WU Zhi-ming³, PU Zhi-ping²,
ZHAO Ming-jun³, YAN Ruo-qian³

(1 College of Veterinary Medicine, Northwest A & F University, Yangling, Shaanxi 712100, China;

2 Zhoukou City Centre for Animal Diseases Control & Prevention, Zhoukou, Henan 466000, China;

3 Henan Centre for Animal Diseases Control & Prevention, Zhengzhou, Henan 450008, China)

Abstract: 【Objective】The study is to establish a rapid detection and quantitative analysis diagnosis method for *Streptococcus suis Serotype 9* (SS9) clinic infection. 【Method】The TaqMan Fluorescent probes and primers were designed and synthesized according to the conserved district of *cps9H* gene of SS9 available in GenBank, and then reaction parameters were optimized and standard curve was established to develop a real-time TaqMan-fluorescent-quantitative PCR assay (FQ-PCR) of *Streptococcus suis Serotype 9*. The sensitivity, specificity and repetition assay of FQ-PCR were tested, and 11 suspected tissue samples from pigs on farms in Henan Province were detected by using the established FQ-PCR assay compared with the routine PCR method. 【Result】The FQ-PCR method and quantitative standard curve were successfully established. The developed FQ-PCR assay, which exhibited high specificity and good reproducible, could detect 1.0 copy/ μ L of plasmid DNA and its sensitivity was 100 times higher than that of the routine PCR. The FQ-PCR was used to detect the DNA of 11 tonsil tissue samples taken from suspicious *S. suis* infected

* [收稿日期] 2007-01-26

[基金项目] 河南省科技攻关项目(0624410098)

[作者简介] 拜廷阳(1968—),男,河南扶沟人,在读硕士,主要从事兽医微生物学和分子免疫学研究。E-mail:bty1968@126.com

[通讯作者] 闫若潜(1971—),男,河南南阳人,博士,高级兽医师,主要从事动物疫病病原分子生物学研究。

E-mail:yrq1688@126.com

pigs and 3 samples were displayed positive, which was completely consistent with the results of the routine PCR. 【Conclusion】 A SS9 FQ-PCR method was successfully established, which could be used to diagnose rapidly and analyse quantitatively clinic SS9 infection samples.

Key words: *Streptococcus suis Serotype 9*; real-time TaqMan-fluorescent-quantitative PCR; TaqMan fluorescence probe; detection method

猪链球菌(*Streptococcus suis*, *S. suis*)是一种重要的人兽共患病原菌,常会引发猪脑膜炎、关节炎、心内膜炎、败血症和突然死亡等。此病各年龄段的猪均可感染,多发于3~12周龄,尤以断奶仔猪最易感染。该菌亦可引起人类的感染,导致脑膜炎等严重疾患甚至死亡^[1]。

根据猪链球菌的荚膜多糖抗原(cps)可将其分为35个血清型,即1~34型和1/2型,其中能引起人和动物发病的血清型主要是1型(SS1)、2型(SS2)、7型(SS7)和9型(SS9)^[2]。近年来,SS2型和SS9型的流行呈上升趋势,给养猪业造成了巨大的经济损失,并且引起了人的感染和死亡^[3]。

建立猪链球菌的快速诊断和血清型分型方法,对该病的早期临床诊断、防治、疫苗防疫及公共卫生等具有重要的实际意义。用传统的微生物学病原分离技术结合血清学试验,能够对猪链球菌进行诊断和血清学分型,但该方法费时费力,而且敏感性不高,易产生非特异性结果。因此,建立猪链球菌快速、敏感、特异的诊断及血清型分型方法,对猪链球菌病的防控非常必要。目前,对2型猪链球菌快速诊断、血清型分型方法等已有较多研究^[4],但对SS9的快速诊断及血清型分型方法等的研究相对还较少。

荧光定量PCR(Fluorescent quantitative polymerase chain reaction, FQ-PCR)技术,是利用荧光技术对核酸进行绝对定量的一项新兴技术^[5],具有操作简便、结果直观、敏感性高、特异性强、重复性好及具有实时性和无污染等优点,已成为病原学检测的重要方法,但迄今为止,国内外尚未见利用FQ-PCR诊断SS9感染的相关报道。为此,本试验建立了SS9水解探针(TaqMan)模式的FQ-PCR检测方法,以期为SS9的快速诊断和定量分析,并为SS9隐性感染、持续带菌猪及其污染肉食品的快速检测诊断提供技术上的支持。

1 材料与方法

1.1 材 料

1.1.1 主要试剂及仪器 ABI 7000 型荧光定量

PCR仪,美国应用生物技术公司产品;梯度PCR仪,德国Biometra公司产品;UV-2450型分光光度计,日本岛津公司产品;凝胶成像分析系统,美国Alpha Innotech公司产品;DNA回收试剂盒及质粒小量提取试剂盒等,购自大连(宝)生物工程有限公司;pGEM-T Easy载体,购自Promega公司;含SS9型cps9H部分基因的pGEM-T-cps9H重组克隆菌,由河南省动物疫病预防控制中心实验室保存。

1.1.2 参考菌株 猪链球菌1型(SS1)、2型(SS2)、7型(SS7)、9型(SS9)标准对照菌,由中国动物卫生与流行病学中心惠赠,葡萄球菌、巴氏杆菌、沙门氏菌、弓形体、猪附红细胞体及大肠杆菌,由河南省动物疫病预防控制中心实验室保存并提供。

1.1.3 检测样品 检测样品为河南省兽医院根据临床症状,诊断为疑似 *S. suis* 感染后,采集的病猪扁桃体样品,共11份。

1.2 引物和TaqMan探针的设计与合成

根据cps9H基因序列(GenBank登录号:AB246918)中的保守片段,利用Primer Express 2.0软件设计了1对特异引物P1、P2及TaqMan探针(Probe)和扩增cps9H部分基因片段的引物对P3、P4。以上引物和探针均由大连(宝)生物工程有限公司合成。引物和探针序列见表1,探针的5'端用FAM标记,3'端用TAMRA标记。

1.3 SS9 重组质粒的提取

37℃振荡培养含SS9型部分cps9H基因的(pGEM-T-cps9H)工程菌,提取SS9重组质粒,用分光光度计测定OD₂₆₀、OD₂₈₀并计算OD₂₆₀/OD₂₈₀,共重复5次。确定质粒DNA的浓度和纯度,并稀释至1.0×10¹⁰拷贝/μL,-20℃保存备用。

1.4 SS9 FQ-PCR 检测方法的建立

用矩阵法对FQ-PCR的循环参数、引物和探针浓度以及所选引物与探针的组合等进行筛选优化,以得到最佳的荧光定量PCR反应条件。

1.5 SS9 FQ-PCR 检测方法的敏感性试验及标准曲线的建立

用含pGEM-T-cps9H重组质粒的溶液作标准品,10倍系列稀释成1.0×10⁹~1.0×10⁰

拷贝/ μL ,共10个稀释度,以其作为模板进行FQ-PCR。以起始模板数的对数为X轴,以FQ-PCR循

环次数 C_t 值为Y轴作回归曲线,建立SS9检测的标准曲线。

表1 PCR引物和探针的序列及相关参数

Table 1 Nucleotides sequences and related parameter of the primers and probe

名称 Names	核苷酸序列 Nucleotides sequences	长度/bp Length	G+C含量/% G+C percent	解链温度/°C Melting temperature
P1	5'-TTG GAT GAT TCG TGC ACA ATG G-3'	22	45	60
P2	5'-TAA TTT ATG GAT AAT GCC CCT GAT TAG-3'	27	33	60
Probe	FAM-5'-TTC TTT GGA TTC GGT ATG CTC TTC GTA A-3'-TAMRA	28	39	65
P3	5'-GGC TAC ATA TAA TGG AAG CCC-3'	21	48	62
P4	5'-CCG AAG TAT CTG GGC TAC TG-3'	20	55	62

1.6 SS9 FQ-PCR 检测方法的特异性试验

以 1.0×10^5 , 1.0×10^4 , 1.0×10^3 拷贝/ μL 3个浓度的pGEM-T-cps9H重组质粒为模板,进行实时荧光定量分析,同时按文献[6]的方法提取葡萄球菌、巴氏杆菌、沙门氏菌、弓形体、猪附红细胞体和大肠杆菌及SS1、SS2、SS7等3个标准链球菌株的DNA,然后进行FQ-PCR检测,并以无菌双蒸水为阴性对照以检验该方法的特异性。

1.7 SS9 FQ-PCR 方法的稳定性和重复性试验

用FQ-PCR方法对模板质粒DNA含量分别为 1.0×10^6 , 1.0×10^5 , 1.0×10^4 和 1.0×10^3 拷贝/ μL 的4个样品进行重复检测,检验该方法的稳定性和重复性。

1.8 SS9 FQ-PCR 检测方法与常规PCR检测方法的比较

以pGEM-T-cps9H重组质粒为标准品,10倍系列稀释成 $1.0 \times 10^9 \sim 1.0 \times 10^0$ 拷贝/ μL ,以其为模板进行FQ-PCR,同时利用P3、P4引物对进行常规PCR检测。常规PCR反应总体积为25 μL :10×ExTaq Buffer 2.5 μL (Mg²⁺浓度为2.0 mmol/L),dNTPs 2 μL ,ExTaq酶0.25 μL ,上下游引物各0.25 μL (50 $\mu\text{mol}/\text{L}$),探针0.125 μL (50 $\mu\text{mol}/\text{L}$),模板1 μL ,ddH₂O 18.625 μL ,混合均匀,置ABI 7000型荧光定量PCR仪上进行自动化扩增反应。反应程序为:94℃预变性5 min;然后94℃变性30 s,57℃30 s,72℃30 s,40个循环;72℃延伸10 min。用1.5 g/L琼脂糖凝胶电泳鉴定扩增产物,比较2种方法检测的灵敏度。预计扩增片段长度为388 bp。

1.9 SS9 FQ-PCR 检测方法的临床应用试验

参照文献[7]的方法,提取疑似S. suis感染的11份猪扁桃体组织病料总DNA和SS9标准对照株菌液DNA,以无菌双蒸水为阴性对照进行FQ-PCR扩增;同时对以上样品的DNA进行常规PCR检测,以验证二者的符合率。

2 结果与分析

2.1 pGEM-T-cps9H 重组质粒 DNA 浓度的测定

提取pGEM-T-cps9H重组质粒的DNA并经分光光度计测定,其OD₂₆₀平均值为1.556,OD₂₆₀/OD₂₈₀平均值为1.981。参照文献[8]的方法,可计算出所提质粒DNA溶液的浓度为 2.75×10^{10} 拷贝/ μL 。

2.2 SS9 FQ-PCR 的反应条件

采用矩阵法优选引物和探针的最佳浓度,结果表明,用0.5 $\mu\text{mol}/\text{L}$ 的引物浓度和0.25 $\mu\text{mol}/\text{L}$ 的探针浓度对质粒标准品进行检测,可获得较小的反应循环数(C_t)和较大的荧光信号强度(ΔR_n)。FQ-PCR循环条件的优化结果表明,双温循环及60℃的退火温度为最佳的循环条件。FQ-PCR反应总体积为25 μL ,其中10×ExTaq Buffer 2.5 μL (Mg²⁺浓度为2.0 mmol/L),dNTPs 2 μL ,ExTaq酶0.25 μL ,上下游引物各0.25 μL (50 $\mu\text{mol}/\text{L}$),探针0.125 μL (50 $\mu\text{mol}/\text{L}$),模板1 μL ,ddH₂O 18.625 μL ,混合均匀,置ABI 7000型荧光定量PCR仪上进行自动化扩增反应。反应程序为:94℃预变性4 min;然后94℃变性30 s,60℃退火延伸30 s,共进行40个循环。在每个循环延伸结束时进行荧光信号检测,荧光模式设为FAM/TAMRA双标记模式。

2.3 SS9 标准曲线及 FQ-PCR 的灵敏度

以10倍系列稀释的标准pGEM-T-cps9H重组质粒($1.0 \times 10^9 \sim 1.0 \times 10^0$ 拷贝/ μL)为模板进行FQ-PCR,其结果见图1。由图1可知,稀释为 1.0×10^0 拷贝/ μL 时荧光曲线的 ΔR_n 值最高在2 000左右, C_t 值为29.27,表明该方法检测的灵敏度为 1.0×10^0 拷贝/ μL 。根据检测结果所计算出的标准曲线见图2。图2曲线的相关系数为0.996,斜率为-2.36,截距为31.27,从而可以得出拷贝数(X)与 C_t 之间的线性关系表达式为: $C_t = -2.36 \lg X + 31.27$

31.27。将由仪器读取的 C_t 值代入该表达式即可算出样品的拷贝数。

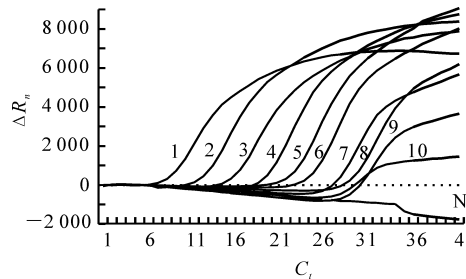


图 1 10 倍梯度稀释的猪链球菌 cps9H 重组质粒的

荧光定量 PCR 检测

1~10. 对应的重组质粒模板浓度依次分别为 1.0×10^9 , 1.0×10^8 , 1.0×10^7 , 1.0×10^6 , 1.0×10^5 , 1.0×10^4 , 1.0×10^3 , 1.0×10^2 , 1.0×10^1 和 1.0×10^0 拷贝/ μL ; N. 阴性对照

Fig. 1 FQ-PCR assay of the recombinant pGEM-T-cps9H plasmid by 10 fold serial dilutions

1~10. Indicate the FQ-PCR results of the recombinant pGEM-T-cps9H plasmid at the dilutions of 1.0×10^9 , 1.0×10^8 , 1.0×10^7 , 1.0×10^6 , 1.0×10^5 , 1.0×10^4 , 1.0×10^3 , 1.0×10^2 , 1.0×10^1 and 1.0×10^0 copy/ μL , respectively; N. Negative control

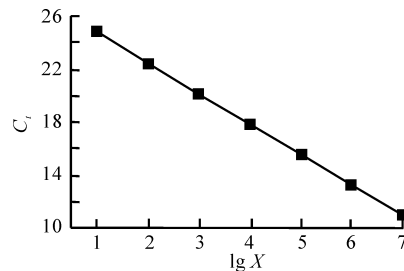


图 2 SS9 FQ-PCR 的标准曲线

Fig. 2 Standard curve established from the SS9 FQ-PCR result

2.4 SS9 FQ-PCR 的特异性

特异性试验结果如图 3 所示。由图 3 可见,以 1.0×10^5 , 1.0×10^4 , 1.0×10^3 拷贝/ μL 3 个浓度的 pGEX-T-cps9H 重组质粒为模板的 PCR 产物及阳性对照样品的扩增产物均有荧光响应,而 6 个对照细菌或寄生虫 DNA、阴性对照以及猪链球菌标准株 SS1、SS2、SS7 等的扩增产物均无荧光响应。说明所建立的 SS9 FQ-PCR 诊断方法,具有很好的特异性。

2.5 SS9 FQ-PCR 的稳定性和重复性

以 4 个浓度的 pGEM-T-cps9H 重组质粒为标准品进行多次重复测定,其结果如图 4 所示。通过计算及统计分析可知,当起始浓度分别为 1.0×10^6 , 1.0×10^5 , 1.0×10^4 , 1.0×10^3 拷贝/ μL 时, pGEM-T-cps9H 重组质粒标准品的最终实际测得值分别为 1.002×10^6 , 0.996×10^5 , 0.987×10^4 和

0.988×10^3 拷贝/ μL ,表明所建立的 FQ-PCR 方法具有良好的稳定性和重复性。

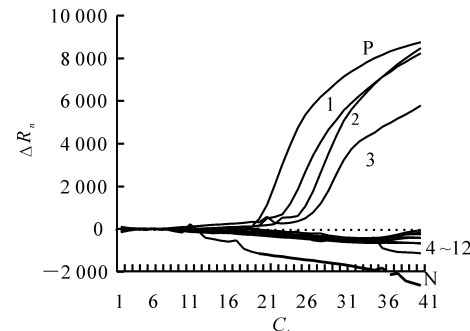


图 3 SS9 FQ-PCR 的特异性试验

P. 阳性对照;1~3. 对应的质粒模板浓度分别为 1.0×10^5 , 1.0×10^4 , 1.0×10^3 拷贝/ μL ; 4~12. 葡萄球菌、巴氏杆菌、沙门氏菌、弓形体裂殖体、猪附红细胞体、大肠杆菌、SS1、SS2 和 SS7; N. 阴性对照

Fig. 3 Specificity test results of the developed SS9 FQ-PCR method.

P. Positive control; 1~3. FQ-PCR results of recombinant pGEX-T-cps9H plasmid with concentrations of 1.0×10^5 , 1.0×10^4 , 1.0×10^3 copy/ μL ; 4~12. FQ-PCR results of the controls including the *Staphylococcus*, *Pasteurella*, *Salmonella*, *Toxoplasma tachyzoite*, *Mycoplasma suis*, *E. coli*, SS1, SS2 and SS7; N. Negative control

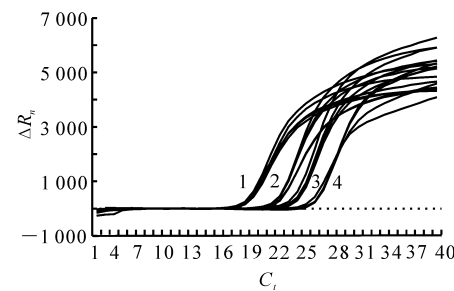


图 4 SS9 FQ-PCR 的稳定性和重复性试验

1~4. 分别以 1.0×10^6 , 1.0×10^5 , 1.0×10^4 和 1.0×10^3 拷贝/ μL 的 pGEM-T-cps9H 重组质粒为模板采用 FQ-PCR 方法重复扩增 4 次的结果

Fig. 4 Accuracy and repetition assay of the developed SS9 FQ-PCR method

1~4. Indicate the repeated 4 times FQ-PCR test results of the recombinant pGEM-T-cps9H plasmid at the dilutions of 1.0×10^6 , 1.0×10^5 , 1.0×10^4 , 1.0×10^3 copy/ μL , respectively

2.6 SS9 FQ-PCR 与常规 PCR 的比较

采用常规 PCR 方法检测时,当模板重组质粒浓度稀释为 1.0×10^2 拷贝/ μL 时,尚能扩增出条带,但模板浓度稀释到 1.0×10^1 拷贝/ μL 时将不再能扩增出条带,说明常规 PCR 方法检测的灵敏度为 1.0×10^2 拷贝/ μL (图 5, 表 2),而 FQ-PCR 检测的灵敏度为 1.0×10^0 拷贝/ μL (图 1, 表 2)。因此可见,所建立的 SS9 FQ-PCR 方法的检测灵敏度,是常规 PCR

检测方法的100倍。

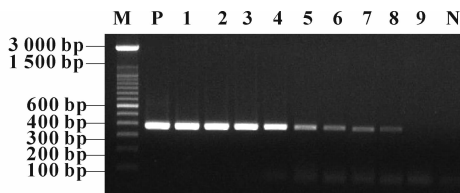


图5 pGEM-T-cps9H 重组质粒常规 PCR 检测的琼脂糖凝胶电泳结果

M. 100 bp DNA 标准分子量对照；P. 阳性对照；1~9. 对应的重组质粒模板浓度依次为 1.0×10^9 , 1.0×10^8 , 1.0×10^7 , 1.0×10^6 , 1.0×10^5 , 1.0×10^4 , 1.0×10^3 , 1.0×10^2 , 1.0×10^1 拷贝/ μL ; N. 阴性对照

Fig. 5 Agarose electrophoresis of the routine PCR products obtained from $10 \times$ serial dilutions recombinant pGEM-T-cps9H plasmid.

pGEM-T-cps9H plasmid.

M. 100 bp DNA Marker; P. Positive control; 1~9. PCR products of recombinant pGEM-T-cps9H plasmid at the dilutions of 1.0×10^9 , 1.0×10^8 , 1.0×10^7 , 1.0×10^6 , 1.0×10^5 , 1.0×10^4 , 1.0×10^3 , 1.0×10^2 , 1.0×10^1 copy/ μL ; N. Negative control

表2 SS9 FQ-PCR与常规PCR方法检测pGEM-T-cps9H 重组质粒灵敏度的比较

Table 2 Comparison the sensitivity by detecting the recombinant pGEM-T-cps9H plasmid using the developed FQ-PCR and the routine PCR method

质粒模板/ (copy· μL^{-1}) Recombinant plasmid	常规 PCR Routine PCR	FQ-PCR	
		C _t	灵敏度 Sensitivity
1.0×10^9	+	6.89	+
1.0×10^8	+	10.27	+
1.0×10^7	+	14.02	+
1.0×10^6	+	17.77	+
1.0×10^5	+	19.76	+
1.0×10^4	+	22.34	+
1.0×10^3	+	26.24	+
1.0×10^2	+	27.46	+
1.0×10^1	-	28.74	+
1.0×10^0	-	29.27	+

注：“+”表示检测结果为阳性，“-”表示检测结果为阴性，C_t < 30 代表 FQ-PCR 检测呈阳性。

Note: “+” indicates the positive results; “-” indicates the negative results; C_t < 30 indicate the positive results of FQ-PCR.

2.7 SS9 FQ-PCR与常规PCR对临床样品检测应用的比较

提取疑似猪链球菌感染扁桃体组织病料和标准 SS9 株总 DNA, 分别用常规 PCR 和 FQ-PCR 进行检测, 其结果如图 6, 7 所示。由图 6, 7 可见, 标准 SS9 株经两种方法检测的结果均为阳性; 两种方法均能从 11 份疑似病料中检出 3 份 SS9 型阳性, 二者的检测结果完全相符。

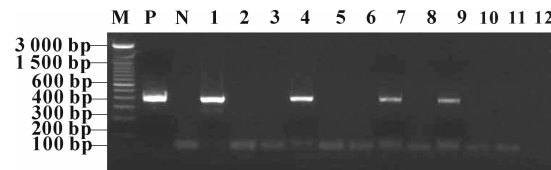


图6 常规PCR临床检测猪链球菌的电泳结果

M. 100 bp DNA 标准分子量对照；P. 阳性对照；N. 阴性对照；1. SS9 标准株；2~12. 11 份临床疑似猪链球菌感染猪扁桃体组织病料

Fig. 6 Agarose electrophoresis of routine PCR products obtained from the 11 clinic suspicious *S. suis* infected tonsil tissue and standard SS9 strain

M. 100 bp DNA Marker; P. Positive control; N. Negative control;

1. Standard SS9 strain; 2~12. 11 clinic suspicious *S. suis* infected tonsil tissue samples

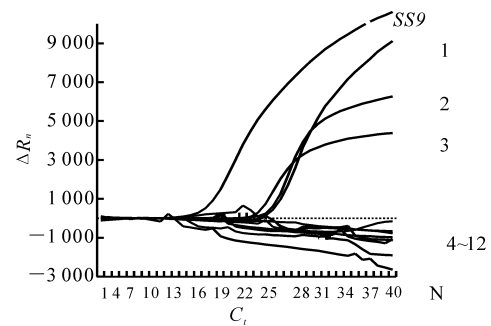


图7 FQ-PCR 临床检测猪链球菌疑似样品扩增曲线

SS9. 标准猪链球菌9型株；1~3. 临床样品中3种SS9阳性样品的 FQ-PCR扩增曲线；4~12. 临床样品中8种SS9阴性样品的 FQ-PCR扩增曲线；N. 阴性对照

Fig. 7 FQ-PCR detection curves of the clinic suspicious *S. suis* infected tonsil tissue and standard SS9 strain

SS9. Standard *S. suis* serotype 9 strain; 1~3. Carves of the 3 positive samples of the 11 clinic suspicious *S. suis* infected samples; 4~12. Carves of the 8 negative samples of the 11 clinic suspicious *S. suis* infected samples; N. Negative control

3 讨论

引起猪和人发病的猪链球菌血清型除 2 型外, 还有 9 型、7 型、1/2 型、1 型及 14 型等。在欧洲 7 个国家分离的 411 株猪链球菌中, SS9 型株所占的比例仅次于 SS2 而位居第二^[2]; 自猪体内分离的 SS9 型分离株可致死小鼠^[9], 我国也有关于 SS9 型株感染的报道^[10]。SS9 株成为继 2 型株之外危害最大的致病性猪链球菌血清型之一。迄今为止, 国内外对猪链球菌的研究, 主要集中在 2 型猪链球菌的研究上^[3,11-13], 有关 SS9 的研究报道很少, Smith 等^[14]研究了 1 型、2 型、9 型猪链球菌的多重 PCR 鉴别诊断方法; Wisselink 等^[15]报道了 1 型, 14 型, 2

型,1/2 型,7 型和 9 型等 6 个血清型的多重 PCR 鉴别诊断方法;国内刘军等^[10]也对 SS9 与 SS2 型的多重 PCR 诊断方法进行了研究。本研究则首次建立了 SS9 荧光定量 PCR 诊断方法,与常规 PCR 方法相比,该方法诊断更加迅速,整个反应可在 1~2 h 内完成,而且不需要电泳,从而大大降低了对环境的污染,且其检测灵敏度是常规 PCR 方法的 100 倍(表 2),并能实现对样品的实时定量检测。因此,该方法对 SS9 的早期快速诊断、疫苗免疫及防控等均具有非常重要的意义。

cps9H 基因是 SS9 血清型特异的单拷贝基因,也是对其血清型分型的依据,选取 *cps9H* 基因为靶基因设计 PCR 引物,可确保 SS9 PCR 检测的特异性^[14]。本研究建立的 FQ-PCR 方法,以 *cps9H* 基因为模板设计探针和引物,在特异性方面具有双重保证,因此具有较常规 PCR 更高的特异性。特异性和重复性试验表明, FQ-PCR 只对不同浓度的 pGEM-T-*cps9H* 重组质粒呈现阳性反应,而对 6 个对照细菌和寄生虫 DNA 样品以及其他血清型的致病性猪链球菌株(标准 SS1、SS2、SS7 株)均呈现阴性反应,说明本研究所建立的 FQ-PCR 方法,具有很高的特异性,可用于 SS9 的快速诊断与分型研究。另外,对同一样品重复多次检测,均可得到一致的 C_t 值和荧光强度,表明所建立的 FQ-PCR 方法具有很高的稳定性和重复性。

利用 FQ-PCR 方法进一步对 11 份临床疑似猪链球菌感染的扁桃体组织样品和标准 SS9 株进行了检测,其检测结果与用常规 PCR 方法的检测结果完全一致,说明该方法可成功应用于 SS9 的临床应用检测;同时也暗示在我国猪群感染猪链球菌病例中,存在着 SS9 感染,因此建议临幊上在重视 SS2 感染控制的同时,还应该加强对 SS9 感染的防控。

[参考文献]

- [1] Staats J J, Feder I, Okwumabua O, et al. *Streptococcus suis*: past and present[J]. Vet Res Commun, 1997, 21(6): 381-407.
- [2] Wisselink H J, Smith H E, Stockhofe-Zurwieden N, et al. Distribution of capsular types and production of muramidase-released protein (MRP) and extracellular factor (EF) of *Streptococcus suis* strains isolated from diseased pigs in seven European countries[J]. Vet Microbiol, 2000, 74(3): 237-248.
- [3] Yu H, Jing H, Chen Z, et al. Human *Streptococcus suis* outbreak, Sichuan, China[J]. Emerg Infect Dis, 2006, 12(6): 914-920.
- [4] Swildens B, Wisselink H J, Engel B, et al. Detection of extracellular factor-positive *Streptococcus suis* serotype 2 strains in tonsillar swabs of live sows by PCR[J]. Vet Microbiol, 2005, 109(3/4): 223-228.
- [5] 许颂霄,王虹,尹一兵. 定量 PCR 的荧光技术[J]. 生命的化学, 2005, 25(5): 413-415.
- [6] Xu S X, Wang H, Yin Y B. The fluorescence technique of the quantitative PCR[J]. The Chemistry of the Life, 2005, 25(5): 413-415. (in Chinese)
- [7] Marois C, Bougeard S, Gottschalk M, et al. Multiplex PCR assay for detection of *Streptococcus suis* species and serotypes 2 and 1/2 in tonsils of live and dead pigs[J]. J Clin Microbiol, 2004, 42(7): 3169-3175.
- [8] Wisselink H J, Reek F H, Vecht U, et al. Detection of virulent strains of *Streptococcus suis* type 2 and highly virulent strains of *Streptococcus suis* type 1 in tonsillar specimens of pigs by PCR[J]. Vet Microbiol, 1999, 67(2): 143-157.
- [9] 宋志军,宋长绪,杨增岐,等. 猪生殖与呼吸综合征病毒 Taq-Man 荧光定量 RT-PCR 检测方法的建立[J]. 中国兽医科学, 2006, 36(2): 98-102.
- [10] Song Z J, Song C X, Yang Z Q, et al. Development of real-time TaqMan-quantitative RT-PCR assay for detection of porcine reproductive and respiratory syndrome virus[J]. Veterinary Science in China, 2006, 36(2): 98-102. (in Chinese)
- [11] Costa A T, Lobato F C, Abreu V L, et al. Serotyping and evaluation of the virulence in mice of *Streptococcus suis* strains isolated from diseased pigs[J]. Rev Inst Med Trop Sao Paulo, 2005, 47(2): 113-115.
- [12] 刘军,冯书章,尹铁勇,等. 猪链球菌 2 型和 9 型菌株的多重 PCR 检测[J]. 中国人兽共患病杂志, 2005, 21(6): 510-514.
- [13] Liu J, Feng S Z, Yin T Y, et al. Multiplex PCR assay for the detection of serotype 2 and 9 of *Streptococcus suis*[J]. Chinese Journal of Zoonoses, 2005, 21(6): 510-514. (in Chinese)
- [14] Tayoro J, Besnier J M, Laudat P, et al. Infective endocarditis due to *Streptococcus suis* serotype 2[J]. Eur J Clin Microbiol Infect Dis, 1996, 15(9): 765-766.
- [15] Tang J Q, Wang C J, Feng Y J, et al. Streptococcal toxic shock syndrome caused by *Streptococcus suis* serotype 2[J]. Plos Med, 2006, 3(5): 151-157.
- [16] Luengo-Alvarez J, Martin-Ruiz C, Sanchez Munoz-Torrero J F, et al. Meningitis due to *Streptococcus suis*: a case report [J]. Enferm Infect Microbiol Clin, 2006, 24(5): 352-354.
- [17] Smith H E, Veenbergen V, van der Velde J, et al. The *cps* genes of *Streptococcus suis* serotypes 1, 2, and 9: development of rapid serotype-specific PCR assays[J]. J Clin Microbiol, 1999, 37(10): 3146-3152.
- [18] Wisselink H J, Joosten J J, Smith H E. Multiplex PCR assays for simultaneous detection of six major serotypes and two virulence-associated phenotypes of *Streptococcus suis* in tonsillar specimens from pigs[J]. J Clin Microbiol, 2002, 40(8): 2922-2929.